



مطالعه تجربی اثرات تلاطم اپتیکی بر انتشار باریکه لیزر در مخابرات اپتیکی زیرآبی

مسعود یوسفی^۱، فاطمه دباغ کاشانی^۱، امیر آقاجانی^۱ و محمدرضا هدایتی راد^۲

^۱دانشکده فیزیک، دانشگاه علم و صنعت ایران، تهران، ایران

^۲دانشگاه جامع امام حسین(ع)، دانشکده مهندسی برق و الکترونیک، تهران، ایران

چکیده - با توجه به اهمیت بررسی اثرات نوسانات تصادفی ضریب شکست آب بر انتشار باریکه‌های لیزری و در نتیجه بر عملکرد سیستم مخابرات نوری زیرآبی، در مقاله حاضر به صورت تجربی تأثیر نوسانات ضریب شکست ناشی از نوسانات دمایی بر روی برخی از مهمترین پارامترهای لینک مخابراتی از قبیل میانگین توان دریافتی، نسبت سیگنال به نویز (SNR) و واریانس نرمال شده توان (ضریب سوسوزنی) مورد بررسی قرار گرفته است. نتایج آزمایشات دلالت بر آن دارد که وجود نوسانات دمایی در آب نسبت به اتمسفر تأثیر بیشتری بر روی پارامترهای لینک مخابراتی دارد. افزایش فاصله صفحه تلاطم (نوسانات دمایی) از محل فرستنده، سبب افزایش نسبت سیگنال به نویز و کاهش سوسوزنی می‌شود. همچنین افزایش قطر دهانه روزنه در صفحه گیرنده (البته تا حد معینی) موجب کاهش واریانس نرمال شده توان و در نتیجه افزایش SNR می‌شود.

کلیدواژه- انتشار باریکه لیزر در محیط تلاطمی زیرآبی، مخابرات زیرآبی، نسبت سیگنال به نویز، ضریب سوسوزنی.

Experimental Investigation of Optical Turbulence Effects on the Laser Beam Propagation through Underwater Communication Link

Masoud Yousefi¹, Fatemeh Dabbagh Kashani¹, Amir Aghajani¹, and Mohammad Reza Hedayati Rad²

¹School of Physics, Iran University of Science and Technology, Tehran, Iran

²Department of Electrical Engineering, Imam Hossein Comprehensive University, Tehran, Iran

Abstract- In this paper, regarding the importance of investigation of optical turbulence limiting effects on laser beam propagation through water, and thus on the performance of underwater wireless optical communication systems, the effect of refractive index fluctuations resulting from temperature fluctuations on some of the most important underwater communication link parameters such as the average received power, Signal-to-Noise Ratio (SNR) and normalized power variance (Scintillation index) has been investigated empirically. The experimental results indicate that the temperature fluctuations in water refractive index variations related to atmospheric have greater impact on the parameters of the communication link. Increasing the distance of the turbulence screen generated by temperature fluctuations from the transmitter plane, scintillation index decreased and therefore, SNR increases. Also, increasing aperture diameter of the receiver optics reduces the normalized power variance and therefore increases the SNR.

Keywords: Laser beam propagation through turbulence, SNR, Scintillation index, Underwater optical communication.

۱- مقدمه

توجه به اهمیت بررسی آزمایشگاهی تأثیر تلاطم اپتیکی زیر آب بر پارامترهای مؤثر مخبرات لیزری و همچنین مستندات کم در حوزه مذکور، در مقاله حاضر، تأثیر نوسانات دمایی در ایجاد نوسانات تصادفی ضریب شکست و ایجاد پدیده سوسوزنی در شدت باریکه لیزری دریافتی بررسی شده است. جهت نیل به این هدف، مقاله حاضر به این صورت سازماندهی شده است: در بخش نخست، چیدمان آزمایشگاهی مورد استفاده جهت شبیه سازی تلاطم اپتیکی و محیط انتشار زیر آب ارائه می شود. سپس، اطلاعات ثبت شده و روش های آماری پردازش آن به همراه روابط و معادلات مورد نیاز معرفی خواهد شد. در نهایت داده های ثبت شده در شرایط مختلف مورد تجزیه و تحلیل قرار گرفته و نتایج حاصل با استفاده از گراف ها و جداول ارائه می شوند. نتایج حاصله در بخش آخر جمع بندی خواهند شد.

۲- چیدمان آزمایشگاهی

چیدمان آزمایشگاهی مورد استفاده در این پژوهش شامل یک تانک آلکریک به طول ۴ متر و عرض ۰/۵ متر و ارتفاع ۱ متر است. با استفاده از یک پمپ مناسب که در مسیر آن یک گرمکن برقی قرار دارد، آب در داخل تانک به گردش درآمده و از دو طرف آن به داخل باز می گردد. با استفاده از این سیستم گردش سیال، امکان یکنواخت سازی و همدمای سازی آب داخل تانک به منظور ایجاد شرایط کنترل پذیر فراهم می شود. جهت نزدیک شدن به شرایط آزمایش (کمینه کردن اثرات جذب و پراکندگی)، آب در دو مرحله تصفیه شده و به میزان سختی کمتر از ۲۰ می رسد. به منظور اندازه گیری دمای آب با دقت بالا، در داخل تانک در ۴ نقطه به فواصل یکسان، از حسگرهای دیجیتالی دما استفاده شده است. با تلفیق ایده صفحه فازی در شبیه سازی های تئوری و صفحات گرماده و سرماده در بررسی های تجربی، در این چیدمان از یک گرمکن میله ای خارجی جهت ایجاد گرادیان دما و نوسانات آن به صورت صفحه ای استفاده شده است. تغییر ولتاژ اعمالی به این گرمکن سبب تغییر در نرخ انتقال حرارت و در نتیجه موجب تغییر دامنه نوسانات دمایی در صفحه می شود. شکل (۱) تصویری از سامانه شبیه ساز انتشار امواج اپتیکی در زیر آب را نشان می دهد.

در چند سال اخیر علاقه به مخبرات فضای آزاد اپتیکی (FSO) برای لینک های زمینی، فضایی و زیرآبی به دلیل توانایی آن ها در فراهم نمودن ارتباط امن و نرخ انتقال داده بالا با توان مصرفی، حجم و وزن کم به طور چشمگیری افزایش یافته است. بسیاری از تحقیقات صورت گرفته در این حوزه، بر روی لینک های مخبراتی زمینی و فضایی معطوف شده است. در حالیکه لینک های مخبراتی زیرآبی به دلیل چالش های بیشتر نسبت به لینک های اتمسفری کمتر مورد مطالعه و بررسی قرار گرفته اند [۱]. انتقال سیگنال الکترواپتیکی در زیر آب تحت تأثیر ویژگی ها و اجزای تشکیل دهنده (مولکول ها و مواد آلی و معدنی محلول) این محیط قرار می گیرد. در حالیکه اکثر مطالعات صورت گرفته در این حوزه بر روی تأثیرات ناشی از عوامل تشکیل دهنده محیطی متمرکزند، تحقیقات اخیر حاکی از آن است که تحت شرایط خاص، تنزل مشهود سطح سیگنال دریافتی می تواند ناشی از تغییرات تصادفی ضریب شکست حاصل از ساختارهای میکروبی دما و شوری در آب اقیانوس ها و دریاها باشد [۲]. در اغلب موارد، به ویژه در محیط دریایی و اقیانوسی (به دور از دهانه خروجی رودخانه ها و خورها)، تأثیر شوری مورد اغماض قرار گرفته و به جای آن بر روی اثرات دمایی تمرکز می شود [۲]. علیرغم تعداد بسیار اندک تحقیقات صورت گرفته بر روی مشخصه سازی محوشدگی (سوسوزنی) سیگنال ناشی از تلاطم اپتیکی آب، به تازگی گزارش هایی در زمینه شبیه سازی شرایط تلاطم اپتیکی زیر آب به صورت تجربی صورت پذیرفته است که در اغلب آن ها از نوسانات شوری صرف نظر شده است [۳]. تغییرات تصادفی تغییرات ضریب شکست در امتداد انتشار باریکه لیزری در محیط زیر آب، سبب نوسانات بزرگ در شدت سیگنال (سوسوزنی) در گیرنده می شود. این پدیده به طور آشکار موجب تنزل عملکرد و ناپایداری لینک مخبرات زیرآبی می شود [۱]. در برخی از مطالعات، به منظور شبیه سازی تلاطم و اثرات آن در فضای تئوری بر انتشار باریکه لیزری، از صفحات فازی استفاده شده است [۴]. استفاده از مفهوم صفحه فازی در بررسی های تجربی جهت شبیه سازی تلاطم اپتیکی زیرآبی، امکان مطالعه اثر تلاطم جایگزیده که در فضای واقعی ممکن است در نقاط مختلف از مسیر انتشار باریکه و به دفعات اتفاق بیفتد را فراهم می سازد. از این رو، با

معادل نویز (P_{NEP}) آشکارساز که سهم نویز در توان تولیدی داخل آشکارساز را بیان می‌کند (با مقدار $4 \times 10^{-14} \text{ watt}$ برای این آشکارساز)، SNR از رابطه زیر بدست می‌آید [۵]:

$$SNR = \frac{\langle P \rangle_{avg}}{P_{NEP}} \quad (2)$$

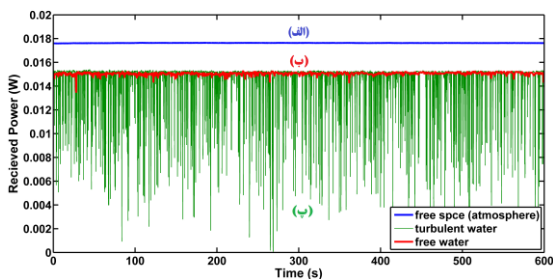
واریانس توان در صفحه آشکارساز که مرتبط با واریانس نرمال شده شدت باریکه لیزری در اپتیک گیرنده (ضریب سوسوزنی) است، به صورت زیر توصیف می‌شود [۱]:

$$\sigma_p^2 = \frac{\langle P^2 \rangle_{avg} - \langle P \rangle_{avg}^2}{\langle P \rangle_{avg}^2} \quad (3)$$

از معادلات (۱) تا (۳) در بررسی آماری تلاطم اپتیکی زیر آب و تأثیر آن بر انتشار امواج اپتیکی و پارامترهای لینک مخابراتی در این محیط استفاده خواهد شد.

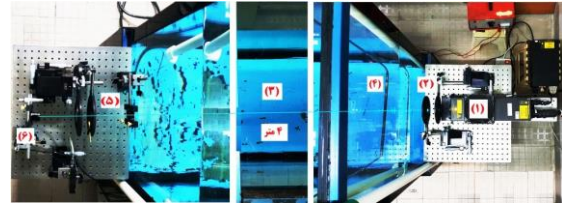
۴- نتایج تجربی

پس از آماده‌سازی چیدمان آزمایش طبق شکل (۱) در بخش دوم، میزان توان دریافتی بر حسب زمان در طی مدت نمونه برداری ثبت گردید. شکل (۲) رفتار توان بر حسب زمان در سه حالت مختلف را نمایش می‌دهد.



شکل ۲: رفتار زمانی توان دریافتی در گیرنده در سه حالت مختلف.

نمودارهای (الف) تا (پ) به ترتیب توان تانک خالی از آب (فضای آزاد)، تانک پر شده با آب تصفیه شده در دمای همگن و یکنواخت ۲۳ درجه سانتیگراد و تانک پر از آب تصفیه شده به همراه گرمکن خارجی میله‌ای جهت تولید گرادیان دمایی صفحه‌ای در ولتاژ ۱۵۰ ولت و فاصله ۳۰ سانتیمتری از فرستنده را نشان می‌دهند. با توجه به نمودار (الف)، میزان پایداری لیزر به کار رفته در چیدمان به خوبی مشهود است. در شرایطی که فقط آب خالص تصفیه شده در تانک شبیه‌سازی وجود دارد، نوسانات اندکی ($\sigma_p^2 = 5.5 \times 10^{-5}$) به دلیل ماهیت مولکولی آب مشاهده می‌شود. پس از اعمال گرادیان دمایی جهت ایجاد



شکل ۱: چیدمان سامانه شبیه‌ساز انتشار امواج اپتیکی در زیر آب

در فرستنده از لیزر یون آرگون (۱) ساخت شرکت Melles Griot استفاده شده است که خروجی پایدار در بازه طول موجی ۴۵۷ تا ۵۱۴ نانومتر (پنجره سبز-آبی عبوری آب) را فراهم می‌نماید. به منظور پهن و موازی‌سازی باریکه خروجی، پس از لیزر یک سیستم اپتیکی موازی‌ساز و گسترنده (۲) تعبیه شده است که اندازه لکه خروجی لیزر را حدود ده برابر نموده و به داخل سامانه شبیه‌ساز (۳) (به همراه گرمکن میله‌ای خارجی (۴)) هدایت می‌کند. در قسمت گیرنده، باریکه لیزر پس از خروج از سامانه شبیه‌ساز، توسط یک لنز با فاصله کانونی ۱۰ سانتیمتر و قطر دهانه ۱۵ سانتیمتری (۵) بر روی یک توان‌سنج (۶) ساخت شرکت Thorlabs با دقت ± 0.5 درصد و نرخ داده‌برداری 30pts/second متمرکز می‌شود. تغییرات توان دریافتی در طول مدت زمان ۱۰ دقیقه جمع‌آوری شده و محاسبات آماری مرتبط با پارامترهای لینک مخابراتی بر روی آن صورت می‌پذیرد. در بخش بعد نحوه پردازش داده‌های حاصل از شبیه‌سازی‌ها و آزمایشات تجربی ارائه می‌شود.

۳- پردازش داده‌های حاصل از شبیه‌سازی

همانگونه که ذکر شد، در محیط کنترل شده آب میزان جذب و پراکندگی ثابت بوده و تغییرات ضریب شکست در طول مسیر انتشار (ناشی از تغییرات چگالی، شوری و دما در محیط) منجر به نوسانات سیگنال شدت در گیرنده می‌شود. این نوسانات شدت در نقاط مختلف صفحه ورودی اپتیک گیرنده با توجه به استفاده از عدسی همگرا به تغییرات توان بر روی صفحه آشکارساز در زمان تبدیل خواهد شد. با داده برداری در طی زمان، داده توان بر حسب زمان در شرایط کنترل شده ثبت می‌شود. در قدم نخست محاسبه توان میانگین صورت می‌پذیرد.

$$\langle P \rangle_{avg} = \frac{\sum_{i=1}^N P_i}{N}, \quad N = \text{number of acquired data} \quad (1)$$

با توجه به مفهوم نرخ سیگنال به نویز (SNR) و مقدار توان

در نتیجه میزان تأثیرپذیری باریکه و به تبع آن دامنه نوسانات توان دریافتی کاهش می‌یابد، همانگونه که در شکل (۴) نشان داده شده‌است، افزایش قطر دهانه اپتیک گیرنده (با توجه به قطر لکه لیزر در گیرنده) $(\approx 30\text{mm})$ سبب کاهش ضریب سوسوزنی می‌شود.

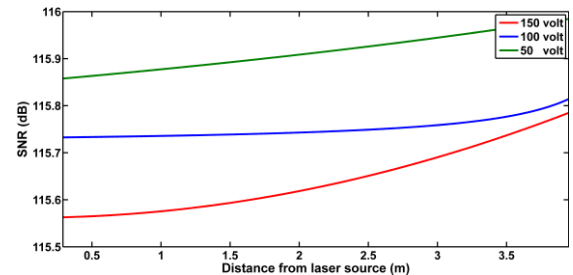
۵- نتیجه‌گیری

در این مقاله چیدمان آزمایشگاهی و نتایج تجربی به منظور شبیه‌سازی انتشار امواج اپتیکی از میان شرایط کنترل شده تلاطمی در زیر آب جهت استفاده در طراحی و مشخصه‌سازی لینک‌های مخابراتی زیرآبی شرح داده‌شد. نتایج آزمایشات نشان می‌دهند که وجود آب خالص در تانک شبیه‌ساز به تنهایی بدون حضور تلاطم سبب افزایش نوسانات توان نسبت به حالت انتشار در اتمسفر می‌شود. همچنین، وجود نوسانات دمایی سبب افزایش نوسانات توان و در نتیجه ضریب سوسوزنی خواهد شد. نتایج بررسی‌های تجربی این مقاله دلالت بر آن دارد که با دور شدن صفحه تلاطم اپتیکی (نوسانات تصادفی ضریب شکست محیط القا شده توسط گرمکن خارجی) نسبت به فرستنده، سبب کاهش تأثیر تلاطم و نوسانات شدت باریکه لیزری و در نتیجه افزایش نسبت سیگنال به نویز خواهد شد. در نهایت با بررسی اثر تغییر قطر دهانه سیستم اپتیک گیرنده با توجه به قطر باریکه لیزر در محل اپتیک گیرنده، مشاهده شد که افزایش قطر دهانه منجر به کاهش تأثیرات تلاطم اپتیکی زیر آب و در نتیجه ضریب سوسوزنی می‌شود. نتایج تجربی حاصل می‌تواند می‌تواند در طراحی و ساخت سیستم مخابرات لیزری امن زیرآبی مورد استفاده قرار گیرد.

مراجع

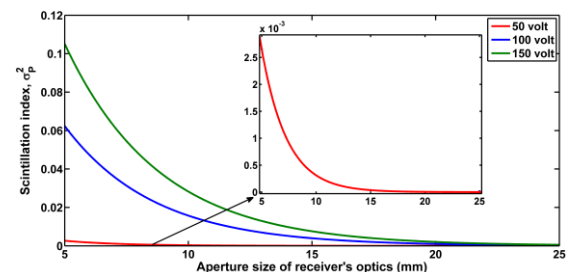
- [1] H. Kaushal, G. Kaddoum, "Underwater optical wireless communication", IEEE Access, Vol. 4, pp. 1518-1547, 2016.
- [2] W. Hou, S. Matt, "EO signal propagation in a simulated underwater turbulence environment", OCEANS 2014 - TAIPEI IEEE, pp. 1-6, 2014.
- [3] A. V. Kanaev, W. Hou, S. R. Restaino, S. Matt, S. Gładysz, "Correction methods for underwater turbulence degraded imaging", Proc. SPIE 9242, Remote Sensing of Clouds and the Atmosphere XIX, Vol. 9442, pp. 9442p1-9442p9, 2014.
- [4] N. Farwell, "Optical Beam Propagation in Oceanic Turbulence", PHD thesis, University of Miami, 2014.
- [5] E. Kazemian, F. D. Kashani, "Reliability analysis of underwater optical communication links in different locations through Caspian Sea", Optik, Vol. 124, No. 21, pp. 5184-5188, 2013.

نوسانات تصادفی ضریب شکست، به طور آشکار نوسانات نسبتاً شدیدی ($\sigma_p^2 = 0.019$) در توان گیرنده به دلیل عبور باریکه لیزری از صفحه تلاطمی و تأثیرپذیری از آن مشاهده می‌شود. در شکل (۳) تأثیر فاصله محل ایجاد تلاطم صفحه‌ای از چشمه لیزری و نوسانات دمایی جایگزیده نسبت به فرستنده بررسی شده‌است.



شکل ۳: مقادیر نرخ سیگنال به نویز بر حسب فاصله محل گرمکن میله-ای خارجی (صفحه تلاطم) از فرستنده برای سه ولتاژ مختلف.

در این حالت، گرمکن خارجی در فواصل مختلف از ۳۰ تا ۴۰۰ سانتیمتری از صفحه فرستنده قرار داده شده‌است. همچنین به منظور بررسی همزمان اثر تغییر قدرت تلاطم دمایی ایجاد شده، ولتاژهای ۵۰، ۱۰۰، ۱۵۰ ولت برای تغذیه گرمکن خارجی در نظر گرفته شد و مقدار نرخ سیگنال به نویز محاسبه گردید. مشاهده شد، هرچه نوسانات دمایی جایگزیده (محل موضعی تلاطم صفحه‌ای) به صفحه فرستنده نزدیکتر باشد، تلاطم اپتیکی تأثیر بیشتری بر روی نوسانات توان باریکه لیزری منتشرشونده در آب خواهد گذاشت. علاوه بر این، افزایش ولتاژ سبب افزایش نوسانات دمایی و قدرت تلاطم شده و در نتیجه سبب افزایش سوسوزنی و کاهش سطح SNR می‌شود. شکل (۴) واریانس نرمالیزه توان لیزر (ضریب سوسوزنی) را برای سه قطر دهانه مختلف اپتیک گیرنده نشان می‌دهد.



شکل ۴: ضریب سوسوزنی (واریانس نرمال شده توان دریافتی) به ازای قطرهای مختلف دهانه اپتیک گیرنده در سه ولتاژ اعمالی مختلف.

از آنجا که با افزایش قطر دهانه (در این حالت از ۵ تا ۲۵ میلیمتر) میزان توان ورودی به آشکارساز افزایش یافته و